

# Asservissement de Phase

## 1 - Définitions :

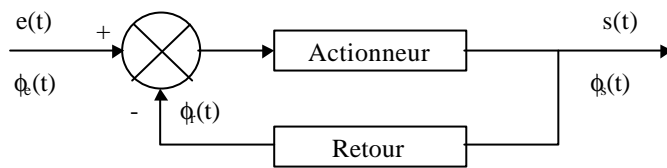
### 1-1 Phase d'un signal :

Si  $v(t)$  sinusoïdal :  $v(t) = V_m \cos[\phi(t)]$

$\nearrow$  Amplitud       $\nwarrow$  Phase instantanée

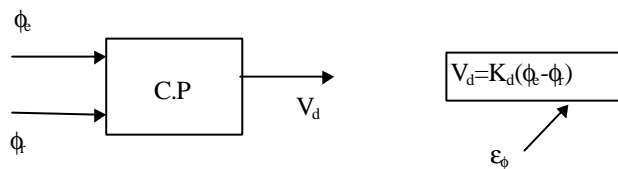
La pulsation instantanée est :  $\omega_i = \frac{d\phi(t)}{dt}$  et  $f_i = \frac{\omega_i}{2\pi}$

### 1-2 Structure d'une boucle de phase :

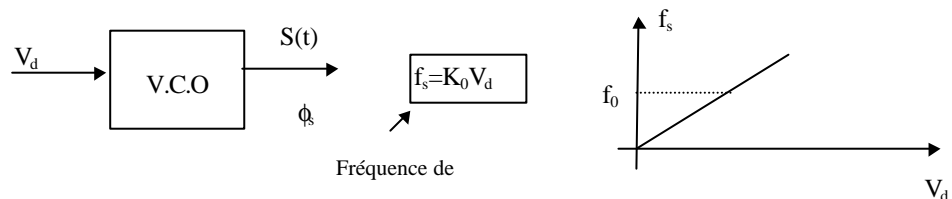


Système asservi  
 Phase Locked Loop  
**P.L.L**  
 Boucle à verrouillage de phase

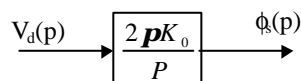
#### 1-2-1 Comparateur de phase C.P (P.D : Phase Detector)



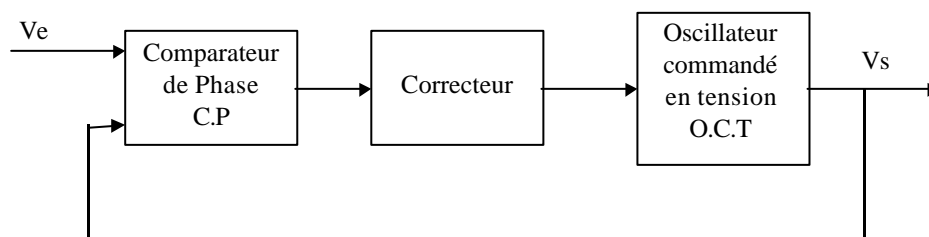
#### 1-2-2 Oscillateur commandé en tension O.C.T (V.C.O)



$$f_s = \int \omega_s(t) dt = 2\pi \int f_s(t) dt = 2\pi K_0 \int V_d dt$$

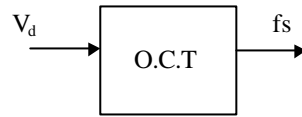


## 2 - Schéma général d'une PLL :



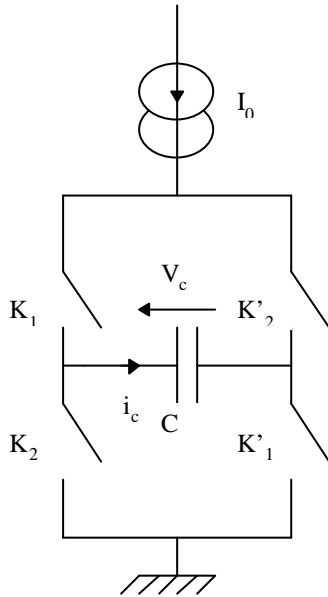
3 - Technologie de fabrication des éléments :

**3-1 O.C.T**



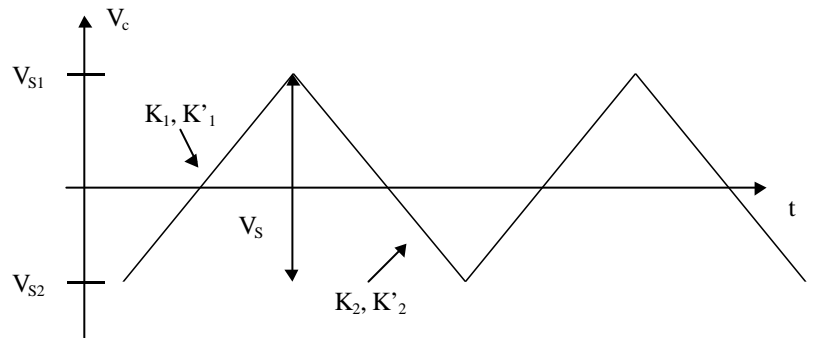
3-1-1 Astables (Basses fréquences)

Exemple :



$K_1, K'_1$  fermés  $\Rightarrow i_c = I_0 = C \frac{dV_c}{dt} \Rightarrow V_c = \frac{I_0}{C} t + V_0$  jusqu'à  $V_{S1}$  (seuil)  
 $\Rightarrow K_1, K'_1$  ouverts et  $K_2, K'_2$  fermés.

$\Rightarrow i_c = -I_0 \Rightarrow V_c = -\frac{I_0}{C} t + V'_0$



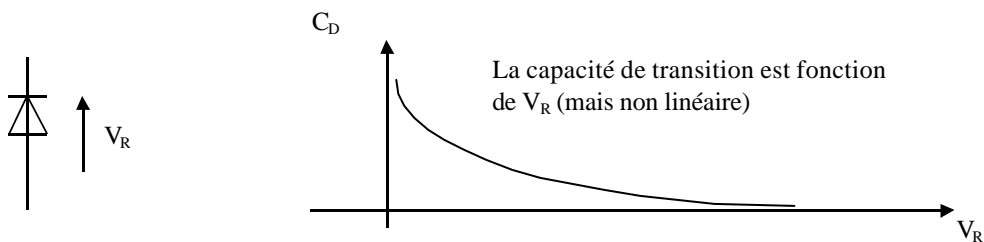
On a généré un signal périodique  $T = \frac{2CV_s}{I_0} \Rightarrow f = \frac{I_0}{2CV_s}$ .

La fréquence est proportionnelle à  $I_0$ , il reste à faire une source de courant commandée :  $I_0 = g \cdot V_d$  pour avoir  $f = K_0 \cdot V_d$ .

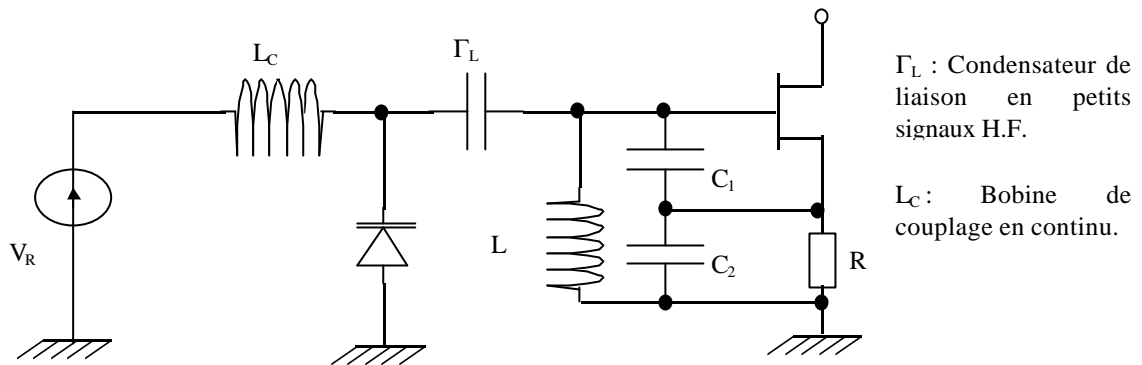
En pratique : bonne linéarité jusqu'à 10 MHz en technologie CMOS.

3-1-2 Oscillateurs à réactance variable (fréquences plus élevées : 10 MHz à 10 GHz)

Il s'agit d'un oscillateur L, C avec C variable en fonction d'une tension. (diode en inverse)



Exemple :

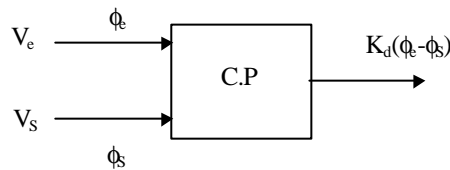


La fréquence de l'oscillation est fonction de  $C_D$  donc de  $V_R$ .

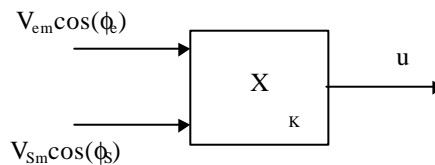
Avantages : Hyperfréquences.

Inconvénients : Peu linéaire  $\Rightarrow$  faibles variations.

### 3-2 Comparateur de phase.



#### 3-2-1 Multiplieurs analogiques :



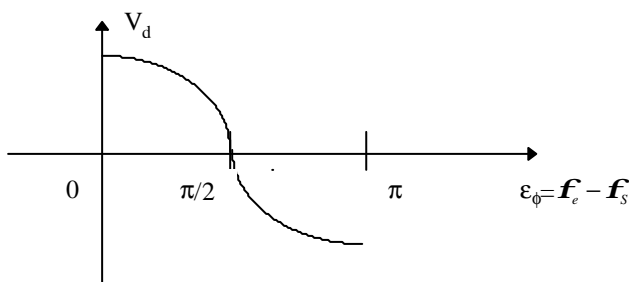
$$u = KV_e V_s = \frac{KV_{em} V_{sm}}{2} [\cos(\mathbf{f}_e + \mathbf{f}_s) + \cos(\mathbf{f}_e - \mathbf{f}_s)]$$

Pour des signaux de fréquences voisines :  $\phi_e = \omega_e t + \phi_{oe}$  et  $\phi_s = \omega_s t + \phi_{os}$

$\Rightarrow \cos(\mathbf{f}_e + \mathbf{f}_s)$  correspond à une fréquence  $f_e + f_s$  proche de  $2f_e$

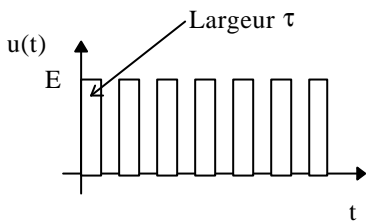
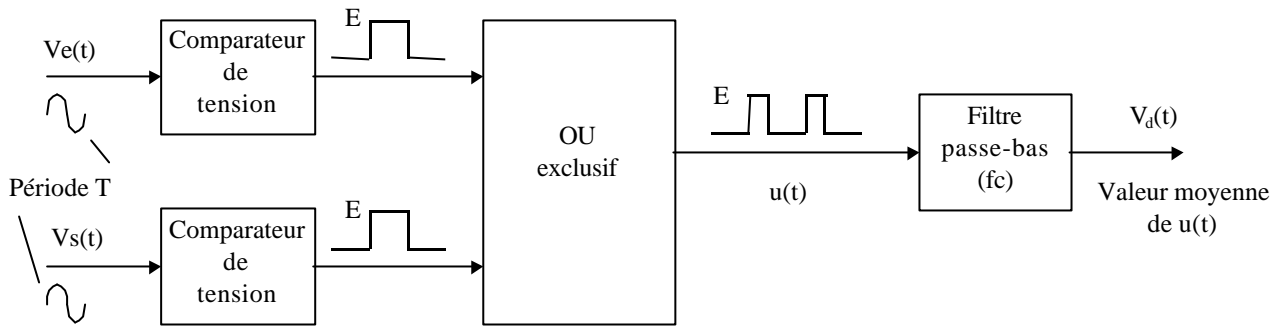
$\Rightarrow \cos(\mathbf{f}_e - \mathbf{f}_s)$  terme lentement variable de fréquence  $f_e - f_s \ll f_e$ .

Il suffit d'utiliser un filtre passe-bas pour éliminer  $\cos(\mathbf{f}_e + \mathbf{f}_s)$  et donc il reste  $V_d = \frac{KV_{em} V_{sm}}{2} \cos(\mathbf{f}_e - \mathbf{f}_s)$

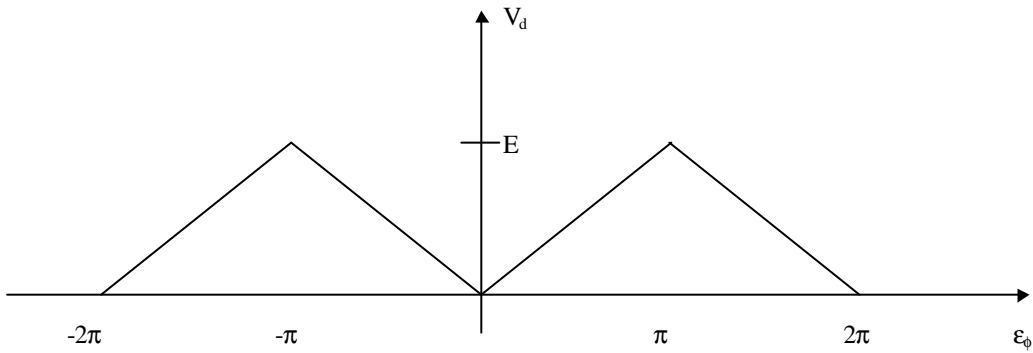


Il y a avec ce type de comparateur de phase des problèmes de linéarité, mais aussi une caractéristique qui dépend de  $V_{em}$  l'amplitude du signal.

3-2-2 Systèmes combinatoires :



$$V_d = \frac{2Et}{T} \text{ et comme } \tau \text{ est le retard de } V_s \text{ sur } V_e, \text{ alors, } V_d = \frac{Ee_f}{P}$$

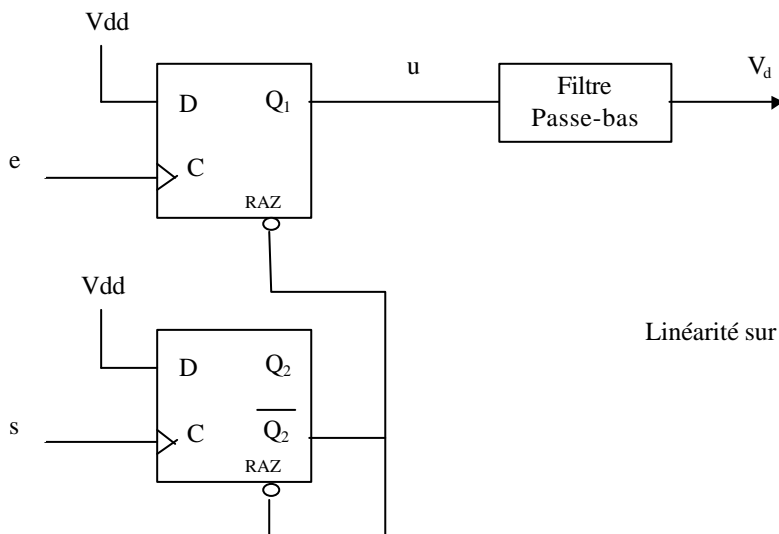


Linéaire dans  $[0, \pi] \Rightarrow$  Linéarité autour de  $\pi/2$ .

Indépendant de  $V_{em}$ .

Mais signaux de fréquences voisines.

3-2-3 Systèmes séquentiels :



Linéarité sur  $2\pi$ .

3-2-4 Compateur de phase à intégration :

$$V_d = A \int e_f(t) dt \Rightarrow \frac{V_d(p)}{e_f(p)} = \frac{A}{p}$$

Avec ce type de compateur de phase, la plage de capture est égale à la plage de poursuite.

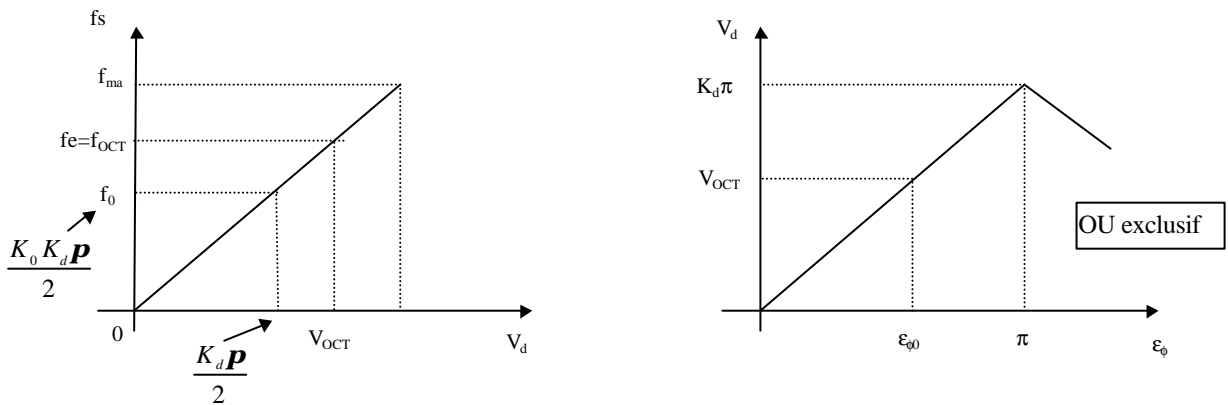
4 - Etude statique boucle verrouillée :

Le point de fonctionnement est obtenu à partir des courbes ou des équations du compateur de phase et de l'OCT.

$$\begin{cases} V_d = K_d e_f \\ fs = K_0 V_d \end{cases} \Rightarrow fs = K_0 K_d e_f$$

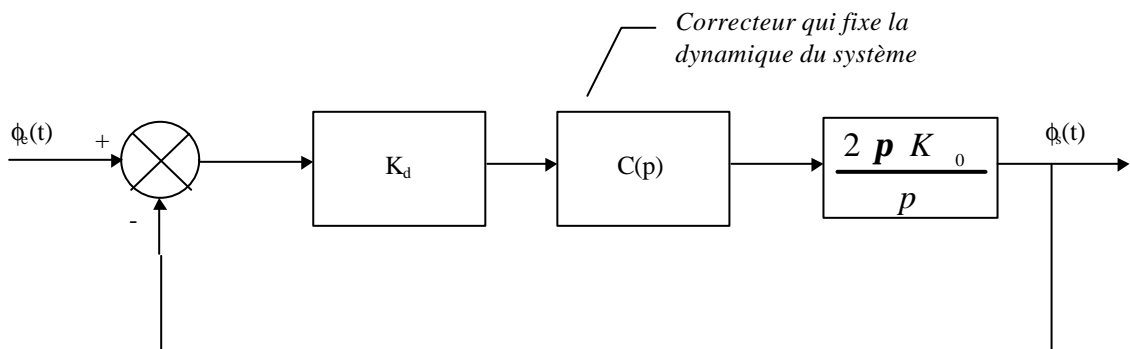
Les constantes  $K_0$  et  $K_d$  sont connues par définition.

La boucle étant verrouillée, on a  $fs=fe$  , ( $\omega s=\omega e$ ), on en déduit  $\epsilon_\phi$  qui doit appartenir à la plage de linéarité du compateur de phase.



On s'arrange pour que le point de fonctionnement soit au milieu des caractéristiques.

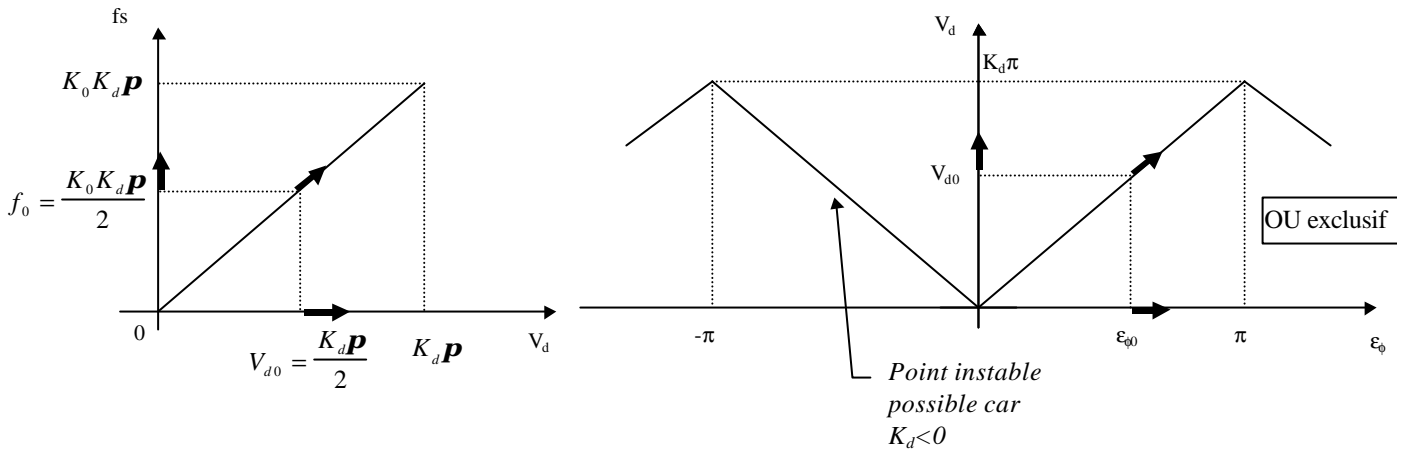
Schéma bloc :



**Plage de poursuite :**

La boucle étant accrochée ( $f_e=f_s$ ), ont fait varier lentement  $f_e$ .

On appelle plage de poursuite, l'intervalle de fréquences  $f_e$  dans lequel  $f_s=f_e$  (poursuite). Au delà,  $f_s$  prend une autre valeur, généralement  $f_0 =$  fréquence d'oscillation libre de l'OCT.



Initialement supposons  $f=f_0$ , fréquence centrale de l'OCT ; La boucle étant accrochée  $\Rightarrow f_s=f_e=f_0 \Rightarrow V_{d0}$  et  $\epsilon_{\phi 0}$ .

Si on augmente  $f_e$ , alors tant que  $f_s=f_e$ ,  $\epsilon_\phi$  augmente et ce jusqu'à  $f=f_L=K_0 K_d \pi$  (plage de poursuite).

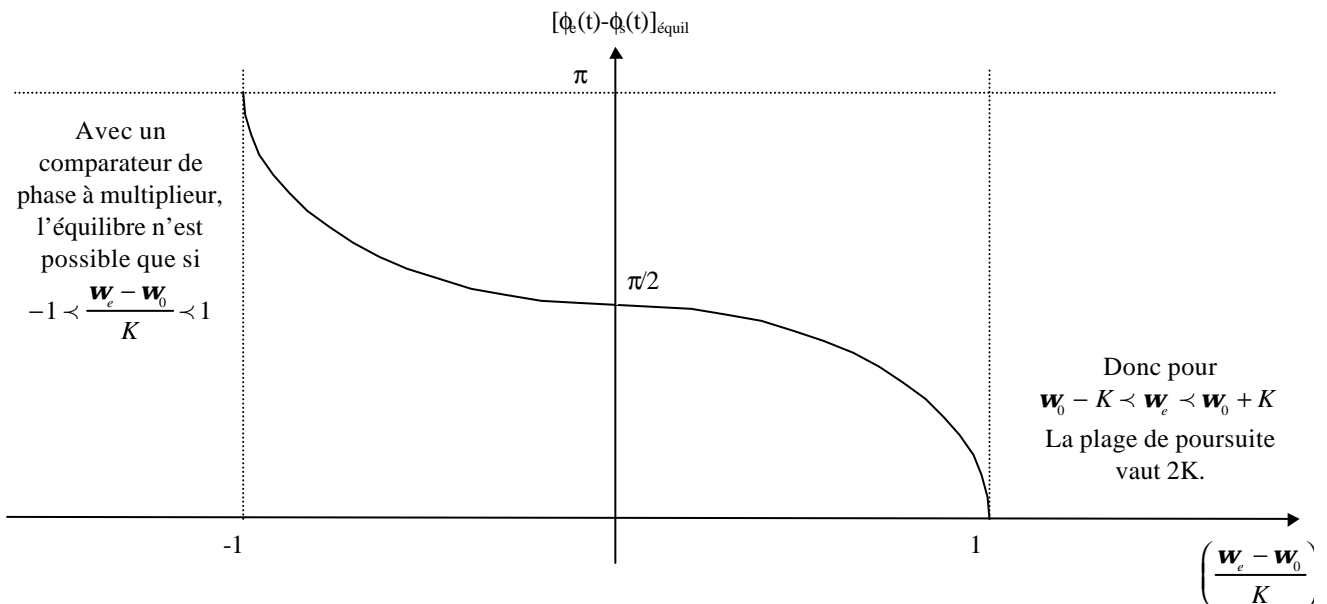
Pour  $f_e > f_L$ , la boucle ne peut rattraper l'erreur de phase et décroche.  $\Rightarrow$  Etude non linéaire (complexe).

A l'équilibre,  $\omega_e = \omega_s$ , la sortie du comparateur de phase est continue de valeur  $K_d \cos[\phi_e(t) - \phi_s(t)]$ , or pour  $\omega_e = \omega_s$  on a :  $\omega_e = \omega_0 + 2\pi K_0 V_d$  et si la commande du VCO s'effectue avec un gain  $K_1$ , alors la formule générale devient :  $\omega_e = \omega_0 + 2\pi K_0 K_1 V_d$ .

Donc  $\omega_e = \omega_0 + K \cos[\phi_e(t) - \phi_s(t)]$  avec  $K = 2\pi K_0 K_1 K_d$

L'équilibre est donc réalisé pour :  $[\phi_e(t) - \phi_s(t)]_{\text{équil}} = \text{Arc cos}\left(\frac{\omega_e - \omega_0}{K}\right)$

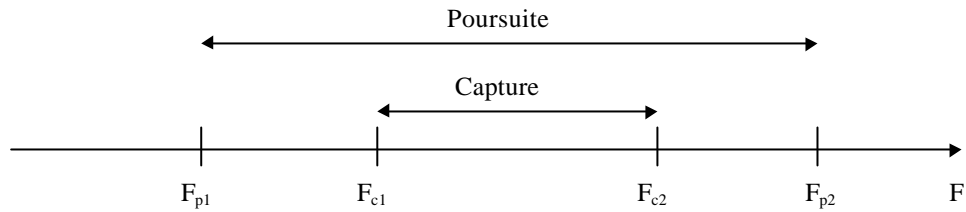
La courbe suivante illustre le résultat précédent :



5 - Phénomène de capture :

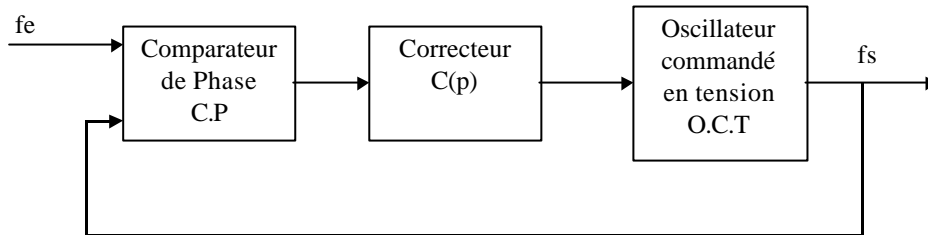
On suppose la PLL non accrochée.

La plage de capture est contenue dans la plage de poursuite.



La plage de capture est fonction de la fréquence de coupure du correcteur  $C(p) = \frac{1}{1 + \tau p}$

(Pour un comparateur de phase sans intégration).



Explications avec un comparateur de phase à multiplieur.

$$\text{Si } fe \neq fs \Rightarrow \text{sortie du multiplieur} \Rightarrow \begin{cases} fe - fs \\ fe + fs \end{cases}$$

aucun terme n'est en basse fréquence, donc en sortie du passe-bas, pas de signal d'erreur.

Si on rapproche  $fe$  de  $fs_0$  (pulsation libre de l'OCT), alors  $(fe - fs_0)$  diminue et il arrive un moment où  $fe - fs_0$  appartient à la bande passante du filtre.

⇒ le signal d'erreur apparaît suffisant pour que l'asservissement fonctionne ; c'est à dire que la tension de commande résultante modifie  $fs$  et pousse  $fs$  vers  $fe$ .

⇒ la relation caractérisant la plage de capture est donnée par le constructeur des PLL intégrées.

6 - Démodulation de fréquence :

Présentons à l'entrée d'une PLL, un signal modulé en fréquence. Si  $m(t)$  est le message basse fréquence, la pulsation instantanée du signal incident est donc :  $\omega(t) = \omega_p + m(t)$  où  $\omega_p$  représente la pulsation de la porteuse.

La phase instantanée de ce signal s'écrit donc :  $f_e(t) = \omega_p t + \int m(t) dt$ .

La phase instantanée du VCO se cale sur celle du signal incident avec un certain déphasage constant et la fréquence du VCO est égale à celle du signal incident. On a donc à l'équilibre :  $\omega_s(t) = \omega(t) = \omega_p + m(t)$ .

La tension de commande du VCO est donc telle que  $\omega_s(t) = \omega_0 + 2\pi K_0 V_d = \omega_p + m(t)$ .

Si la fréquence d'oscillation propre du VCO est réglée sur celle de la porteuse, alors la tension de commande du

VCO est proportionnelle à l'information basse fréquence  $m(t)$  :  $V_d = \frac{1}{2\pi K_0} m(t)$ .